

# مدل‌سازی باقیمانده‌های عکسی حاصل از مثلث‌بندی هوایی شبکه تصاویر فتوگرامتری پهپاد و ارزیابی آن

ابوالفضل شریفی<sup>۱</sup>

تاریخ دریافت مقاله: ۱۴۰۰/۰۳/۱۶ تاریخ پذیرش مقاله: ۱۴۰۰/۰۸/۲۴

\*\*\*\*\*

چکیده

کالیبراسیون دوربین رکن مهم هر پروژه فتوگرامتری است. تاکنون مدل‌های اعوجاج متعددی برای کالیبراسیون دوربین متریک به کار گرفته شده است مانند مدل براون که حداقل ۱۲ پارامتر شامل فاصله اصلی، مختصات نقطه اصلی، اعوجاج فیزیکی عکسی شامل اعوجاجات شعاعی، اعوجاجات مماسی و ... را در یک فرآیند سرشکنی باندل، به صورت خودکالیبراسیون برآورد می‌نماید. این راهکار کماکان برای دوربین‌های ناپایدار و غیرمتریک در فتوگرامتری پهپاد نیز به کار گرفته شده که اگرچه باعث بهبود معنی‌داری در مختصات سه‌بعدی شئی‌ای می‌شود اما هنوز اعوجاجاتی به واسطه ناپایداری هندسی دوربین در مختصات عکسی باقی می‌ماند. این اعوجاجات باقیمانده، منجر به پارالاکس و ایجاد پله ارتفاعی بین مدل‌های سه‌بعدی در برجسته-بینی می‌شود. در این مقاله یک روش پس‌پردازش برای کاهش اعوجاجات باقیمانده عکسی بعد از خودکالیبراسیون دوربین غیرمتریک در پروژه‌های فتوگرامتری پهپاد مطرح می‌گردد. روش ارائه شده مدل‌سازی باقیمانده‌های عکس به کمک یک روش ILCE\_7RM2 اجزاء محدود است. داده‌های استفاده شده در این تحقیق تصاویر پهپاد فتوگرامتری اخذ شده توسط دوربین‌های FC300S، FC6310، FC6310 است. پیاده‌سازی الگوریتم پیشنهادی در محیط برنامه‌نویسی Matlab انجام شده و از نرم‌افزار متاشیپ<sup>۳</sup> نیز برای پردازش اولیه استفاده شده است. نتایج حاصل از آزمون‌های انجام شده روی چند داده فتوگرامتری پهپاد با مشخصات و مقیاس‌های متفاوت بیانگر کاهش باقیمانده‌های عکسی تا ۷۰ درصد در پس از مدل‌سازی و تصحیح اعوجاجات روی تصاویر است. همچنین با انجام برجسته‌بینی سه‌بعدی روی تصاویر تصحیح یافته، شاهد کاهش ۶۰ درصدی پله بین مدل‌های استریوو هستیم که منجر به کیفیت هندسی بالاتر تپیه مدل رقومی ارتفاعی، ارتوفتو و تهی نقشه با برجسته‌بینی سه‌بعدی می‌شود.

واژه‌های کلیدی: کالیبراسیون دوربین، دوربین غیرمتریک، ناپایداری دوربین، مدل دینامیکی اعوجاجات دوربین، پله بین مدل‌ها

\*\*\*\*\*

۱- دانشجوی کارشناسی ارشد فتوگرامتری، دانشکده مهندسی نقشه‌برداری و اطلاعات مکانی، دانشگاه تهران (نویسنده مسئول)  
abolfazl.sharifi@ut.ac.ir  
۲- دانشیار دانشکده سیستم اطلاعات مکانی و نقشه‌برداری دانشگاه تهران msaadat@ut.ac.ir

مهم‌ترین آن‌ها است. این مدل پارامترهای فیزیکی ثابتی را برای مدل‌سازی هندسه دوربین در یک بلوک درنظر می‌گیرد که برای یک دسته از تصاویر دارای مقادیر پارامترهای یکسانی می‌باشد. عدم درنظر گرفتن یک مدل دینامیکی که رفتارهای موضعی در مکان و زمان را مدل‌سازی کند موجب می‌شود که برآورد پارامترهای مجھول در سرشکنی به‌واسطه باقی ماندن خطاهای سیستماتیک در مشاهدات، اریب شده و اعتبار نتایج سرشکنی مخدوش گردد. در این مقاله سعی بر آن است که با استفاده از یک مدل دینامیکی و به‌صورت پس‌پردازش رفتارهای مکانی باقیمانده‌های حاصل از سرشکنی اولیه مدل‌سازی شوند. روش پیشنهادی یک روش اجزاء محدود است که با برآشش شبکه اعوجاجات بازیلینیر دو بعدی بر باقیمانده‌های عکسی، رفتار سیستماتیک این باقیمانده‌ها را در تصاویر مختلف و به‌صورت مجزا مدل‌سازی می‌کند.

پیشینه تحقیق حاضر به شرح زیر است:

سلف کالیبراسیون دوربین برای اولین بار توسط Faugeras, Luong, & Maybank, 1992; Maybank & Kruppa, 1939 (Faugeras, 1992) براساس معادلات کروپا<sup>۱</sup> (Kruppa, 1939) مطرح گردید. این روش در تلاش برای یافتن کالیبراسیون دوربین با یافتن پارامترهای اصلی بر مبنای هندسه پروجکتیو برای یک دسته از تصاویر است. ارتباط نزدیکی بین کالیبراسیون یک دوربین مونو و تبدیل اپی‌پولاری که تحت یک انتقال به وجود می‌آید وجود دارد. تبدیل اپی‌پولار دو قيد به کالیبراسون دوربین اضافه می‌کند. اگر دو تبدیل اپی‌پولار ناشی از جابه‌جاوی دوربین در دسترس باشد آنگاه کالیبراسیون دوربین به کمک یک منحنی چهار پارامتری تعریف می‌شود این روش تا زمانی که سه تصویر از یک منظر موجود باشد قابل اجرا است. در ادامه Hartley از این ایده‌ها برای سلف کالیبراسیون بیش از سه دوربین استفاده کرد و یک الگوریتم عملی برای بازسازی اقلیدوسی از چند منظر ارائه شد. این الگوریتم بر روی داده‌های واقعی و

## ۱- مقدمه

امروزه با پیشرفت فناوری پهپادها به عنوان سکوی برداشت داده مکانی، روش فتوگرامتری پهپاد با هدف تهیه نقشه بیش از پیش رواج پیدا کرده است. از مزایای این روش می‌توان به مقرن به صرفه بودن، تسريع در روند انجام پروژه، حد تفکیک بالای داده‌های مکانی موردن برداشت و تولید محصولات مکانی مختلف نظیر ارتوفوئوموزائیک، مدل رقومی سطح و زمین، مدل سه‌بعدی بافت‌دار و نقشه سه‌بعدی اشاره کرد.

آنچه در یک پروژه فتوگرامتری پهپاد از لحاظ شاخص کیفیت اهمیت دارد گذشته از طراحی شبکه، دوربین و کالیبراسیون دقیق آن است. دوربین‌های متريک هندسه مستحکمی دارند و پارامترهای کالیبراسیون آن‌ها کوچک، معلوم و پایدار است. در نتیجه استفاده از دوربین‌های متريک دقت بالايی را به همراه خواهد داشت اما به علت وزن و اندازه بالا و گران‌قیمت بودن، استفاده از آن‌ها در پهپادهای فوق سبک و مورد استفاده عموم، عملاً امکان‌پذیر نمی‌باشد. از اين رو امروزه دوربین‌های رقومی غيرمتريک و ناپايدار بخش جدایي ناپذير سامانه‌های فتوگرامتری پهپاد شده‌اند. اگرچه تلاش‌های زيادي برای کاهش و رفع اين محدوديت از طریق بهبود کیفیت هندسى دوربین‌های سبک و ارزان از غيرمتريک به متريک در حال انجام است اما روش‌های اجرایي کاهش ارتفاع پرواز، افزایش پوشش‌های طولی و عرضی، تراكم بالاي نقاط کنترل زمیني و مانند آن با اين دوربین‌های غيرمتريک، عملاً منجر به افزایش هزینه و زمان با هدف حفظ کیفیت هندسى محصولات مکانی شده است. مشکل اصلی استفاده از اين دوربین‌های غيرمتريک، هندسه ضعيف و پايدار نبودن پارامترهای کالیبراسیون است که اهمیت کالیبراسیون هندسى درست اين دوربین‌ها را دوچندان می‌کند.

روش‌های زيادي برای کالیبراسیون دوربین مطرح شده است که خود کالیبراسیون مبتنی بر چند جمله‌ای براون<sup>۱</sup> از

## فصلنامه علمی - پژوهشی اطلاعات جغرافیایی (GIS)

مدل سازی با قیماندهای عکسی حاصل از مثلث بندی هوایی شبکه تصاویر فتوگرامتری ... ۲۵ /

شدن نیروی جانبی به دوربین و لنز و عدم پایداری صفحه سنسور CCD موقعیت نقطه اصلی ( $x_0, y_0$ ) و فاصله اصلی Image  $c$  در تصاویر مختلف متفاوت است. از این رو ایده Variant به این صورت که موقعیت نقطه اصلی و مقدار فاصله اصلی برای هر عکس متفاوت باشد مطرح و معادله شرط هم خطی به صورت زیر بیان شد.

$$x = (x_0 + \Delta x_i) - (c + \Delta c_i) \frac{r_{11}(X - X_0) + r_{12}(Y - Y_0) + r_{13}(Z - Z_0)}{r_{31}(X - X_0) + r_{32}(Y - Y_0) + r_{33}(Z - Z_0)} + dx$$

$$y = (y_0 + \Delta y_i) - (c + \Delta c_i) \frac{r_{21}(X - X_0) + r_{22}(Y - Y_0) + r_{23}(Z - Z_0)}{r_{31}(X - X_0) + r_{32}(Y - Y_0) + r_{33}(Z - Z_0)} + dy$$

$i = 1: number\ of\ image$

رابطه (۱)

بنابراین به ازای هر تصویر سه پارامتر دیگر به مجہولات اضافه می شود. انتظار می رود تغییر فاصله اصلی و موقعیت نقطه اصلی در محدوده چند صدم میلی متر تخمین زده شود. نتایج حاصل از اجسمت در این حالات ضعیف نمی شود و تأثیرات ناشی از وابستگی پارامترها نیز کاهش می یابد. همچنین به علت ناهمواری سطح سنسور که ناشی از فرآیند ساخت و نصب آن است، مقدار پارامترهای ثابت تصاویر در مکان های مختلف سنسور متفاوت است.

روش پیشنهادی مدل سازی این رفتار استفاده از روش اجزاء محدود است. از یک شبکه منظم شطرنجی شکل با ابعاد مشخص استفاده شده است و هر نقطه از شبکه مقدار تصحیح مربوطه را به صورت بردار ارائه می دهد. معادلات شرط هم خطی طبق روابط زیر (رابطه ۲) تعمیم داده می شوند. اعوجاجات گرید منظم به عنوان مجھول وارد سرشکنی می شوند (Hastedt, Luhmann, & Tecklenburg, 2002).

$$x_{korr} = (1 - x_l - y_l + x_l \cdot y_l) \cdot k_{x[i,j]} + (x_l - x_l \cdot y_l) \cdot k_{x[i+1,j]} + (y_l - x_l \cdot y_l) \cdot k_{x[i,j+1]} + x_l \cdot y_l \cdot k_{x[i+1,j+1]}$$

معادله مشابه برای

رابطه (۲)

شبیه سازی شده با نویز تست شده و نتایج عالی را به همراه داشته است (Hartley, 1993).

Deriche و Lourakis ساده سازی معادلات کروپا را ارائه کردند و نشان دادند که چگونه می توان از این معادلات برای سلف کالیبراسیون دوربین استفاده کرد. این ساده سازی به صورت جبری و صرفاً براساس ماتریس اساسی انجام گرفت. این الگوریتم نسبت به نویز اندازه گیری پایدار و قابل اعتماد است (Lourakis & Deriche, 1999).

Lei و همکاران نیز روشی برای حل معادلات کروپا برای سلف کالیبراسیون دوربین ارائه دادند. این روش ابتدا با استفاده از بهینه سازی ژنتیکی فاکتورهای مقیاس را تعیین می کند و سپس پارامترهای اصلی دوربین از قیود خطی محاسبه می شود (Lei, Wu, Hu, & Tsui, 2002).

Astrom و Heyden عنوان کردند که در صورت مشخص بودن ابعاد تصویر و عدم وجود انحراف در صفحه تصویر سلف کالیبراسیون دوربین های با فوکوس و بزرگنمایی مداوم امکان پذیر خواهد بود. اگرچه روش آنها کالیبراسیون دوربین را از طریق سرشکنی دسته اشعه غیرخطی انجام می دهد اما هیچ راه حلی برای محاسبه مقادیر اولیه پیشنهاد نکرده است (Heyden & Astrom, 1997).

Spies و همکاران ثابت کردند که عدم وجود انحراف در صفحه تصویر برای سلف کالیبراسیون دوربین کافی است و یک الگوریتم بهینه سازی برای پارامترهای دوربین ارائه دادند (Pollefeys, Koch, & Van Gool, 1999). کالیبراسیون تحلیلی دوربین با استفاده از سرشکنی سلف کالیبراسیون در اوایل دهه ۱۹۷۰ توسعه داده شد (Duane, 1971) و در سال ۱۹۸۰ به ابزاری برای کالیبراسیون دوربین در فتوگرامتری برداشت تبدیل شد (C. Fraser & Brown, 1986). در سال ۲۰۰۲ Thomas Luhmann و همکاران ایده کالیبراسیون دوربین به صورت Variant و Finite Element را مطرح کردند. آنها استدلال نمودند که نمی توان فرض کرد که پارامترهای کالیبراسیون دوربین در کل مدت زمان عکسبرداری ثابت باشند بلکه به دلایلی از قبیل وارد

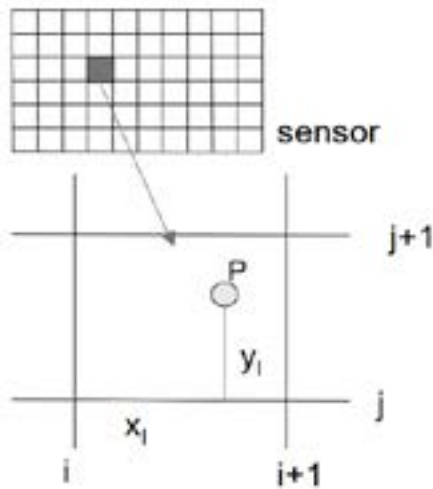
رایانه‌ای ندارد. در این روش نیاز است تا تنها دوربین یک الگوی مسطح و مشخص را از حداقل دو جهت مشاهده کند. در مقایسه با تکنیک‌های کلاسیک که از تجهیزات گران قیمت استفاده می‌کنند، روش پیشنهادی بسیار ساده و قابل انعطاف است (Zhang, 2000).

در سال ۲۰۰۰ Xu Gang و همکاران در یک مقاله نشان دادند که با توجه به دو ماتریس هموگرافی برای دو صفحه در فضای یک رابطه خطی بین دوران و انتقال بین دو دوربین، فاصله کانونی دو دوربین و معادلات صفحه در فضای وجود دارد و می‌توان از این رابطه برای کالیبراسیون دوربین استفاده کرد. نتایج تجربی نشان داده است که با استفاده از برآورده یک حدس اولیه می‌توان راه حل را با به حداقل رساندن تفاوت بین مشاهدات و استفاده مجدد بهینه کرد (Xu, Terai, & Shum, 2000).

در سال ۲۰۰۱ Gruen و Beyer مدل پایه توسط معادلات غیرخطی شرط هم خطی را ارائه کردند که شامل پارامترهای اضافی برای تصحیح اعوجاجات و توجیه داخلی می‌شد (Gruen & Beyer, 2001).

در سال ۲۰۰۶ و طی یک پژوهش توسط Fraser.C.S و Al.Ajlouni یک فرآیند کالیبراسیون وابسته به فاصله کانونی ارائه شد که بهموجب آن تصحیح مختصات تصویر برای توجیه داخلی و مدل‌سازی اعوجاجات لنز به عنوان تابعی از فاصله کانونی مطرح شد. نتایج حاصل از این تحقیق نشان داد که روش پیشنهادی برای پروژه‌های فتوگرامتری با دقت متوسط و از راه دور مناسب است (C. S. Fraser & Al-Ajlouni, 2006).

در سال ۲۰۰۸ Habed.A و B.Boufama در مقاله‌ای مجموعه جدیدی از معادلات برای سلف کالیبراسیون یک دوربین متحرک با پارامترهای ثابت ارائه کردند. برخلاف اکثر روش‌های موجود که نیاز به حل معادلات با سه یا چند مجھول دارند، معادلات پیشنهادی فقط دو متغیره هستند. به طور خاص، نشان داده می‌شود که سه عامل مقیاس موجود در معادلات کروپا، که ناشی از سه‌گانه تصاویر



نگاره ۱: گرید درنظرگرفته شده برای نوشتمن معادلات در این روش تغییر و رفتار پارامترها به صورت خطی درنظر گرفته شده است و روابط استفاده شده نسبت به رفتارهای متفاوت پارامترهای کالیبراسیون انعطاف‌پذیر نیستند. در حالی که در این مقاله مدل مورد استفاده نسبت به رفتار باقیماندهای عکسی انعطاف‌پذیر است (Hastedt et al., 2002).

در سال ۱۹۹۹ Pollefey.M مدعی شد که برای بازسازی سه‌بعدی، یکی از موارد مهم بازیابی پارامترهای کالیبراسیون دوربین است. کالیبراسیون دوربین برای به دست آوردن اطلاعات متريک در مورد صحنه با استفاده از دوربین مورد نیاز است. چندین تکنیک برای این کار ارائه شده است اما دستیابی به یک کالیبراسیون متريک به‌طور همزمان دشوار است. بنابراین، در مقاله حاضر، یک رویکرد طبقه‌بندی شده ارائه شده است، که از پروژکتور از طریق افاین استفاده می‌کند. اگر کالیبراسیون افاین مشخص باشد، می‌تواند برای مقابله با تغییر فاصله کانونی نیز استفاده شود (Pollefey & Van Gool, 1999).

در سال ۲۰۰۰، طی یک تحقیق در ارتباط با کالیبراسیون دوربین توسط Zhang.Z یک تکنیک جدید و انعطاف‌پذیر برای کالیبراسیون راحت دوربین پیشنهاد شده است. این روش نیاز به دانش تخصصی از هندسه سه‌بعدی یا دید

## فصلنامه علمی - پژوهشی اطلاعات جغرافیایی (GIS)

مدل‌سازی باقیمانده‌های عکسی حاصل از مثلث‌بندی هوایی شبکه تصاویر فتوگرامتری ... ۲۷ /

۵۶ و ۵۸ درصد بهبود دقت مسطحانی و ارتفاعی بهدست

آمد (Babapour, Mokhtarzade, & Valadan Zoj, 2017).

خود کالیبراسون دوربین، دقت و استحکام مثلث‌بندی هوایی را برای تصاویر پهپاد تعیین می‌کند. تصاویر پهپاد اخذشده از خطوط انتقال طولانی، استحکام هندسی پایینی دارند که ممکن است کالیبراسیون دوربین را تحت تأثیر قرار دهد.

برای حل چنین مشکلاتی، روش‌های سنتی با بیش از سه نقطه کنترل زمینی کار می‌کنند، در حالی که این مطالعه یک روش خود کالیبراسیون جدید تنها با یک نقطه کنترل طراحی می‌کند. بهنحوی که ابتدا، مدل‌های اعوجاج دوربین موجود به دو دسته، یعنی مدل‌های فیزیکی و ریاضی دسته‌بندی می‌شوند و فرمول‌های ریاضی آن‌ها به تفصیل مورد بهره‌برداری قرار می‌گیرند. دوم، در چارچوب SfM<sup>۱</sup>، یک روش خود کالیبراسیون دوربین طراحی شده است که استراتژی‌های اولیه‌سازی پارامترهای اعوجاج دوربین و ترکیب مشاهدات سیستم ناویری جهانی ماهواره‌ای با دقت بالا را ترکیب می‌کند. این روش می‌تواند به دقت افقی و عمودی به ترتیب به ۰/۰۴ متر و ۰/۰۵ متر در هنگام استفاده از یک نقطه کنترل برسد (Huang, Jiang, & Jiang, 2021).

### ۲- روش پیشنهادی برای مدل‌سازی اعوجاجات باقیمانده عکسی

همانطور که در مقدمه ذکر شد روش پیشنهادی برای کالیبراسیون دوربین یک روش پس‌پردازش است. روش پس‌پردازش به علت سادگی پیاده‌سازی و به عنوان روش مقدماتی برای بررسی میزان بهبود نتایج انتخاب شده است. روش اصولی‌تر برای این کار، پردازش همزمان مدل دینامیکی در فرآیند محاسبات باندل اجستمنت است. منظور از مدل دینامیکی، مدلی است که مقادیر پارامترهای آن وابسته به زمان بوده و برای عکس‌های متوالی به تدریج تغییر می‌کند.

است، مستقل نیستند بلکه با یکدیگر ارتباط نزدیکی دارند

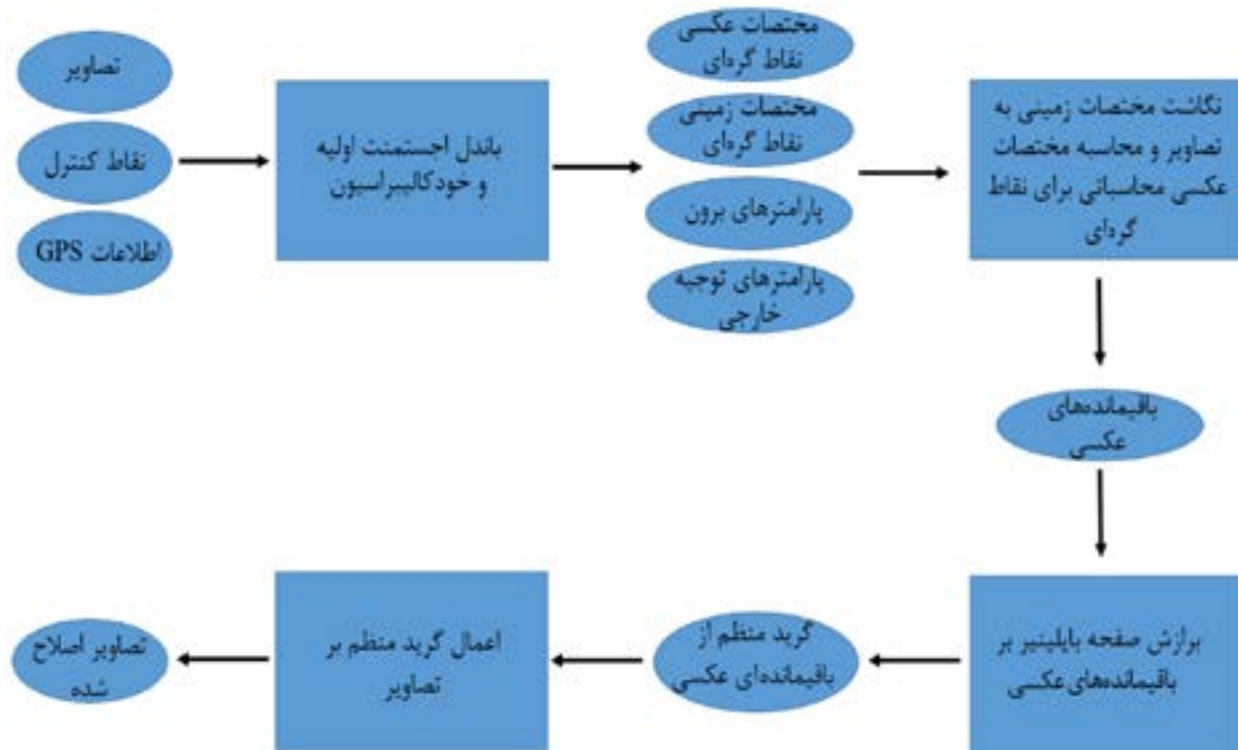
(Habed & Boufama, 2008; Pollefey et al., 1999)

خودکالیبراسیون مداوم و پیوسته دوربین استریو با استفاده از دنبال کردن پارامترهای دوربین در سال ۲۰۰۹ توسط تاو دنگ انجام گرفت. در تحقیق انجام شده یک چارچوب سازگار برای خودکالیبراسیون دوربین مطرح می‌شود به‌طوری که براساس یک تجزیه و تحلیل عملی از حساسیت بازسازی استریو، پارامترهای مهم برای خودکالیبراسیون شناسایی می‌شوند (Dang, Hoffmann, & Stiller, 2009).

کاربرد سنجنده‌های تصویربرداری رقومی و تعیین پارامترهای توجیه خارجی تصاویر با استفاده از سنجنده‌های IMU/GPS باعث ایجاد تحولی عظیم در زمینه فتوگرامتری هوایی شده است. سنجنده‌های تصویربرداری رقومی به‌طور قابل ملاحظه‌ای موجب کاهش حجم پردازش داده‌ها، به‌منظور تولید اطلاعات موردنیاز کاربران در حوزه‌های مختلف شده است. همچنین تعیین مستقیم پارامترهای توجیه خارجی تصاویر با استفاده از ترکیب سیستم‌های ناویری روش‌های توجیه سنجنده را متحول نموده است (Chio, 2016).

با ظهور دوربین‌های دیجیتال جدید، بهویژه دوربین‌های غیرمتریک کم‌وزن که بر روی وسایل نقلیه هوایی بدون سرنشین (پهپادها) نصب می‌شوند، مدل‌های کالیبراسیون دوربین باید مطابق با ماهیت پیچیده چند اعوجاجی آن‌ها تقویت شوند.

در سال ۲۰۱۶ و طی یک تحقیق، یک روش کالیبراسیون جدید پیشنهاد و ارزیابی شده است که توانایی زیادی در مدل‌سازی اعوجاج‌های پیچیده تصویر دارد و نیازی به اطلاعات اضافی زمینی ندارد. این روش از ویژگی‌های خط مستقیم برای شناسایی و مدل‌سازی اعوجاج تصویر از طریق فرآیند خود کالیبراسیون استفاده می‌کند. روش پیشنهادی بر روی تصاویر دیجیتال UltraCam متریک و همچنین تصاویر یک پهپاد با دوربین غیرمتریک اجرا شد. نتایج به‌دست‌آمده بسیار امیدوارکننده بود، زیرا در مورد تصاویر پهپاد، به ترتیب



نگاره ۲: فلوچارت روش پیشنهادی برای مدل سازی اعوجاجات باقیمانده عکس

$$\begin{aligned}
 x &= \frac{X}{Z} \\
 y &= \frac{Y}{Z} \\
 r &= \sqrt{x^2 + y^2} \\
 x' &= x(1 + K_1r^2 + K_2r^4 + K_3r^6 + K_4r^8) + (P_1(r^2 + 2rx^2) + 2P_2xy) \\
 y' &= y(1 + K_1r^2 + K_2r^4 + K_3r^6 + K_4r^8) + (P_2(r^2 + 2ry^2) + 2P_1xy) \\
 u &= \frac{w}{2} + c_x + x'f + x'B_1 + y'B_2 \\
 v &= \frac{h}{2} + c_y + y'f
 \end{aligned}$$

(رابطه ۳)

که در آن ( $X, Y, Z$ ) مختصات نقاط در سیستم مختصات محلی دوربین، ( $u, v$ ) مختصات نگاشت شده نقاط در سیستم مختصات تصویر (به پیکسل)،  $f$  فاصله کانونی دوربین،  $c_x, c_y$  مختصات نقطه اصلی،  $K_1, K_2, K_3, K_4$  ضرایب اعوجاج شعاعی،  $P_1, P_2$  ضرایب اعوجاج مماسی،  $B_1, B_2$  ضرایب کشیدگی و عدم تعادل و  $w, h$  طول و عرض تصویر به پیکسل می‌باشند. به این ترتیب باقیماندهای عکسی بعد از سرشکنی با مدل براون به دست می‌آید (Agisoft, 2020).

**۱-۲- کالیبراسیون اولیه**  
برای انجام پردازش تصاویر و باندل اجستمنت اولیه شبکه فتوگرامتری از نرم‌افزار متاشیپ<sup>۱</sup> استفاده شده است. کالیبراسیون دوربین در این نرم‌افزار با استفاده از یک چندجمله‌ای مدل براون در باندل اجستمنت و همراه با پارامترهای توجیه خارجی و محضات زمینی نقاط گردای با معیار کمترین مربعات وزن دار باقیماندهای مشاهدات برآورده می‌شوند. این پارامترها، به عنوان ورودی روش پیشنهادی اجزاء محدود (Reddy, 2019) مورد استفاده قرار می‌گیرند تا پارامترهای اعوجاج باقیمانده عکسی از طریق یک مدل دینامیکی به دست آید.

با توجه به استفاده از نرم‌افزار متاشیپ نیاز است تا مدل ریاضی آن برای انجام محاسبات فتوگرامتری مورد استفاده قرار گیرد. مدل ریاضی نرم‌افزار برای بازسازی سه‌بعدی به شرح رابطه (۳) است.

1- Agisoft Metashape

## فصلنامه علمی - پژوهشی اطلاعات جغرافیایی (GIS)

مدل‌سازی باقیمانده‌های عکسی حاصل از مثلث‌بندی هوایی شبکه تصاویر فتوگرامتری ... ۲۹ /

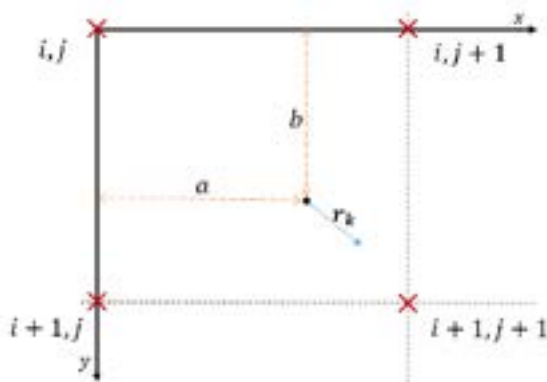
بایلینیر<sup>۳</sup> بر باقیمانده‌های نقاط گرهای نامنظم استفاده می‌شود. برای این کار قیود درون عکسی نیز در کنار معادلات بایلینیر استفاده می‌شوند. یکی از مشکلات این روش نیاز به تراکم کافی به نقاط گرهی در هر تصویر است زیرا در نواحی بدون نقاط گرهی، قابلیت اعتماد به درستی مدل اعوجاجات از دست می‌رود. همچنین ابعاد گرید اعوجاجات روی نتیجهنهایی مؤثر است و باید مورد بررسی قرار گیرد.

### ۱-۲-۲- معادلات صفحه بایلینیر

در نگاره ۴ که سیستم مختصات محلی یک رأس از گرید منظم را نشان می‌دهد، باقیمانده مشاهدات نامنظم عکسی و  $a$  و  $b$  مختصات نقطه  $K$  در سیستم مختصات محلی هستند. همچنین باقیمانده رئوس مجهول می‌باشند. بنابراین هر نقطه گرهای در تصویر دو معادله خواهد داشت که در دو جهت  $x$  و  $y$  به صورت روابط (۴) و (۵) نوشته می‌شوند (Dumitru, Plooreanu, & Badea, 2013).

$$rx_k = (1-a)(1-b)rx_{i,j} + a(1-b)rx_{i,j+1} + b(1-a)rx_{i+1,j} + abrx_{i+1,j+1} \quad (4)$$

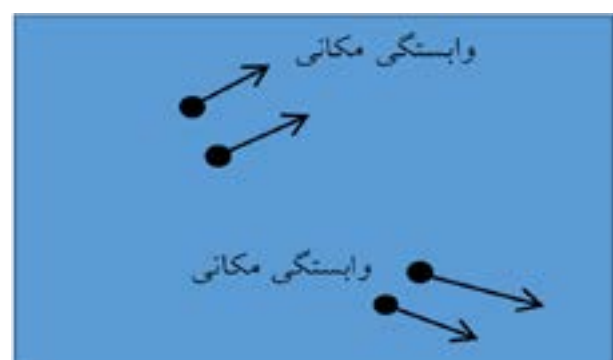
$$ry_k = (1-a)(1-b)ry_{i,j} + a(1-b)ry_{i,j+1} + b(1-a)ry_{i+1,j} + abry_{i+1,j+1} \quad (5)$$



نگاره ۴: سیستم مختصات محلی هر نود گرید منظم

### ۲-۲- کالیبراسیون اجزاء محدود<sup>۱</sup>

رفتار باقیمانده‌های عکسی بعد از سرشکنی اولیه می‌تواند در مکان به صورت سراسری یا موضعی باشد (نگاره ۳). رفتارهای سراسری در مکان توسط روش‌های مرسوم مانند مدل براون مدل‌سازی می‌شوند. البته برای مدل‌سازی ناپایداری دوربین با این مدل‌ها نیز همانطور که در قسمت پیشینه تحقیق (مقدمه) ذکر شد می‌توان با درنظر گرفتن پارامترهای مجزا برای هر تصویر عمل نمود.



نگاره ۳: رفتار موضعی باقیمانده‌های عکسی در مکان

رفتارهای موضعی در مکان به این معنی است که در نقاطی از یک تصویر باقیمانده‌ها رفتاری متفاوت با سایر نقاط دارند. این نوع رفتارها قابل مدل‌سازی با روش‌های سلف کالیبراسیون مرسوم نیستند.

ایده مطرح شده در این تحقیق استفاده از روش اجزاء محدود است (Zienkiewicz, Taylor, Nithiarasu, & Zhu, 1977) تا بتوان اعوجاجات تصویری را به صورت موضعی در مکان مدل کرد. در این روش، ساخت یک گرید منظم به‌نحوی که هر نود آن دو مؤلفه دارد مدنظر است.

این گرید را می‌توان به یک توری شبیه کرد که رفتار آن در هر تصویر متفاوت است و رفتارهای مختلف در نقاط مختلف تصویر را نیز مدل می‌کند. به عبارت دیگر انتظار می‌رود تا این روش رفتارهای موضعی در مکان را نیز مدل‌سازی کند. برای محاسبه دو مؤلفه اعوجاج  $xy$  در رئوس این گریدهای منظم تصویری، از برازش یک صفحه

### ۲-۱-۳-۲- مرحله اول: باندل اجستمنت اولیه و

#### خودکالیبراسیون

- ورودی: تصاویر، اطلاعات GPS و IMU
- پردازش: استخراج فیچر، تناظریابی نقاط و سرشکنی باندل

• خروجی: پارامترهای توجیه خارجی، ضرایب مدل برآون و مختصات عکسی و زمینی نقاط گرهای در مرحله اول نیاز است تا تصاویر در قالب یک بلوک فتوگرامتری پردازش شوند و نتایج حاصل از آن برای مرحله دوم مورد استفاده قرار گیرند. تصاویر و اطلاعات GPS و IMU سنجنده به عنوان ورودی به نرم افزار متاشیپ معرفی می شوند. پس از تناظریابی تصاویر و استخراج نقاط گرهای سرشکنی باندل با درنظر گرفتن چندجمله‌ای برآون برای کالیبراسیون دوربین انجام می‌گیرد. در نتیجه این سرشکنی اولیه پارامترهای توجیه خارجی تصاویر، ضرایب چندجمله‌ای برآون و مختصات زمینی نقاط گرهای محاسبه می شوند.

### ۲-۲-۳-۲- مرحله دوم: محاسبه باقیمانده‌های عکسی نقاط گرھی

- ورودی: پارامترهای توجیه خارجی، ضرایب مدل برآون و مختصات زمینی نقاط گرهای پردازش:

- نگاشت مختصات زمینی به تصاویر و محاسبه مختصات عکسی محاسباتی

- محاسبه باقیمانده‌های مختصات نقاط نامنظم عکسی

- خروجی: باقیمانده‌های عکسی مربوط به نقاط گرھی نامنظم در هر عکس

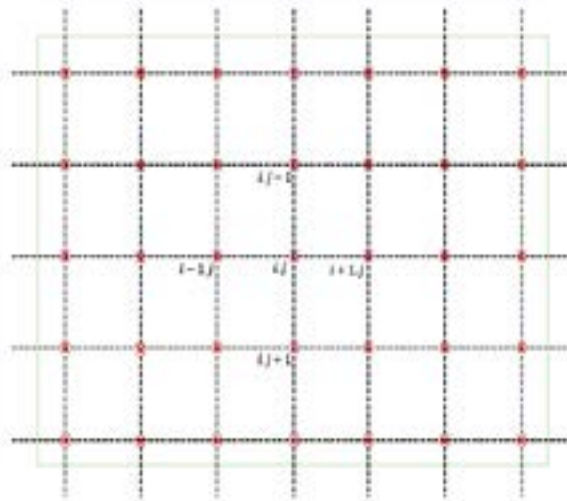
در این مرحله ابتدا مختصات زمینی نقاط گرهای به کمک مدل ریاضی نرم افزار، پارامترهای توجیه خارجی و ضرایب برآون به روی هر تصویر نگاشت می شوند. اختلاف مختصات محاسبه شده از این روش برای هر نقطه و مختصات نقاط گرهای مشاهده شده بردار باقیمانده

### ۲-۲-۲- قیود درون عکسی

این قیود وابستگی مکانی اعوجاجات را در نظر می‌گیرند. همانطور که در نگاره ۵ نشان داده شده است باقیمانده در هر رأس برابر با میانگین ۴ همسایگی آن رأس در نظر گرفته می شود. بنابراین به ازای هر نود دو معادله خواهیم داشت.

$$rx_{i,j} = \frac{rx_{i-1,j} + rx_{i+1,j} + rx_{i,j-1} + rx_{i,j+1}}{4} \quad (6)$$

$$ry_{i,j} = \frac{ry_{i-1,j} + ry_{i+1,j} + ry_{i,j-1} + ry_{i,j+1}}{4} \quad (7)$$



نگاره ۵: همسایگی هر رأس از گرید منظم در معادلات قیود درون عکسی

### ۳-۲- پیاده‌سازی

پیاده‌سازی الگوریتم مذکور در سه مرحله (که در ادامه شرح داده می شود) انجام می‌گیرد. لازم به ذکر است که اجرای این مراحل به صورت متوالی بوده و نتایج حاصل از هر مرحله به عنوان ورودی در مرحله بعدی استفاده می شوند. مرحله اول توسط نرم افزار متاشیپ و مرحله دوم و سوم در نرم افزار MATLAB پیاده‌سازی شده‌اند.

## فصلنامه علمی - پژوهشی اطلاعات جغرافیایی (GIS)

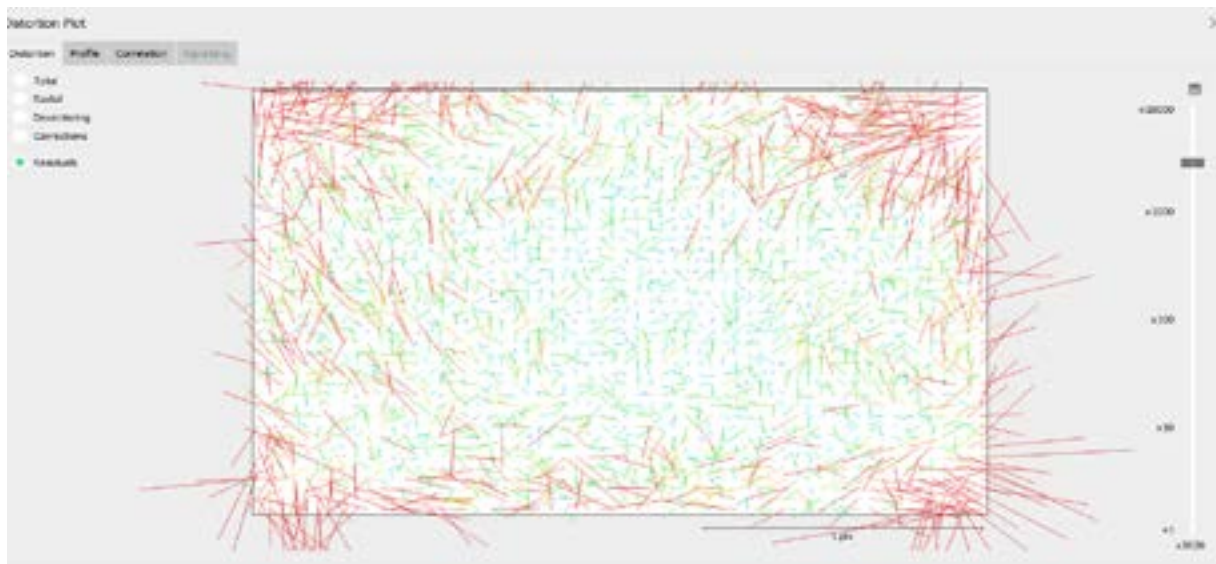
مدل سازی باقیماندهای عکسی حاصل از مثلث بندی هوایی شبکه تصاویر فتوگرامتری ... ۳۱ /

عکسی را می دهد. این باقیمانده در دو جهت  $x$  و  $y$  تعریف می شود. به منظور بررسی رفتار باقیماندهای عکسی یک

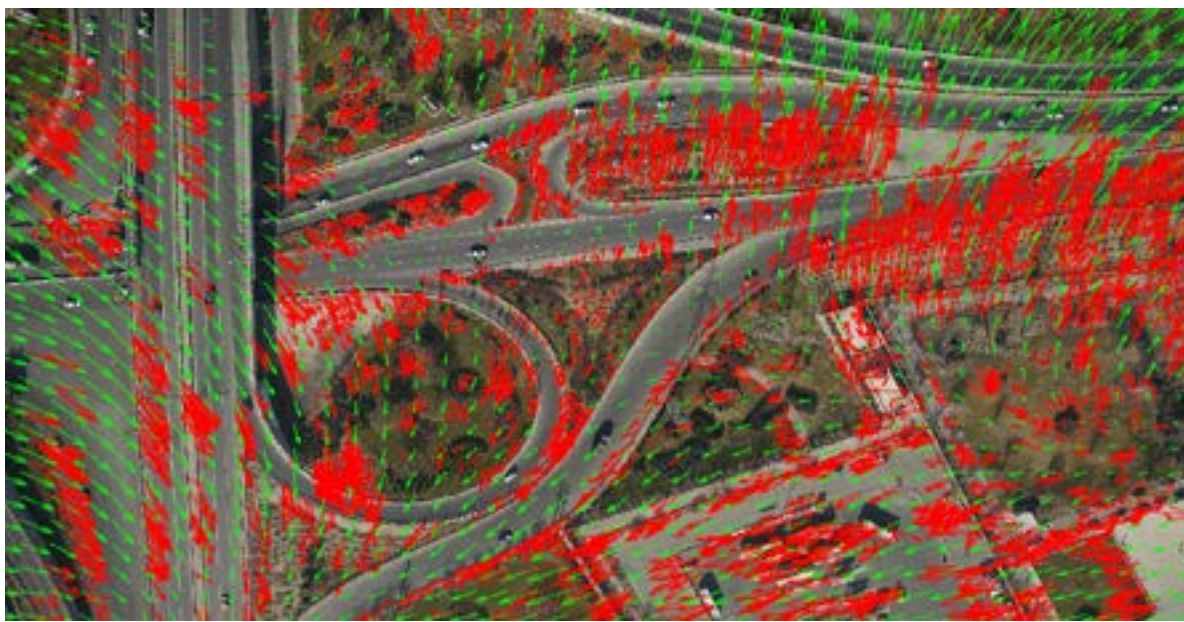
دسته از تصاویر اخذ شده از منطقه شهر آفتاب توسط نرم افزار متاشیپ پردازش شده و از خود کالیبراسیون براون برای مدل کردن اعوجاجات تصویر استفاده می شود. نگاره ۶ نشان دهنده باقیماندهای عکسی در دو تصویر دلخواه پس از سرشکنی اولیه است. همانطور که دیده می شود بخشی از این باقیماندها خطای اتفاقی بوده و بخشی دیگر دارای الگوی سیستماتیک می باشد. به وضوح مشاهده می شود که هنوز باقیماندهای عکسی الگوی مشخصی دارند و می توان



نگاره ۶: باقیمانده نقاط گرهای نامنظم (به منظور نمایش بهتر مقیاس ۱۰ به باقیماندها اعمال شده است)



نگاره ۷: میانگین باقیماندهای عکسی



نگاره ۸: قرمز: باقیماندهای عکسی و سبز: گرید منظم محاسبه شده برای یک تصویر با ابعاد ۲۰۰ پیکسل (ضریب اغراق ۱۰۰)

هستند محاسبه می‌شوند. نگاره ۸ گرید محاسبه شده برای یک تصویر را نشان می‌دهد که رفتار سیستماتیک باقیماندهای عکسی در آن مشهود است. پس از محاسبه گرید منظم برای هر تصویر حال هر یک از گریدها بر تصویر مورد نظر اعمال می‌گردد تا در نتیجه آن تصاویر اصلاح شده به دست آیند. در واقع با انجام این کار خطاهای سیستماتیک که چندجمله‌ای براون آن را مدل نکرده است از روی تصاویر برداشته می‌شوند. بنابراین در ادامه، از این تصاویر اصلاح شده برای بررسی‌بینی و تولید نقشه استفاده شده است.

۲-۳-۳-۲- مرحله سوم : پیاده‌سازی مدل اجزا محدود  
• ورودی : باقیماندهای عکسی مختصات نقاط گرهی نامنظم در هر عکس  
• پردازش :

- برآش صفحه‌بایلینیر بر باقیماندهای عکسی و محاسبه گرید منظم  
- اعمال گرید منظم بر تصاویر و تولید تصاویر اصلاح شده  
• خروجی : گرید منظم از باقیماندهای عکسی و تصاویر اصلاح شده

از آنجاکه نقاط گرهای در سطح تصویر به صورت غیریکنواخت پراکنده هستند، نیاز است تا یک گرید منظم که رفتار باقیماندها در هر قسمت از تصویر را نشان دهد محاسبه گردد. در اینجا دو گرید منظم به کمک مقدار باقیماندها در جهت  $x$  و  $y$  محاسبه می‌شود، تا یکی رفتار باقیماندها در جهت  $x$  و دیگری رفتار باقیماندها در جهت  $y$  را مدل کنند. لازم به ذکر است که در این مقاله تنها از قیود درون عکسی استفاده شده است. با نوشتن روابط فوق، مجھولات که همان باقیماندهای عکسی رئوس گرید منظم

### ۳- آزمون‌های ارزیابی روش پیشنهادی

برای ارزیابی روش پیشنهادی بهبود صحت هندسی تصاویر فتوگرامتری پهپاد از سه مجموعه داده مختلف که توسط سنجنده‌های متفاوت و با مقیاس‌های گوناگون به روش فتوگرامتری پهپاد اخذ شده‌اند استفاده شده است. خصوصیات داده‌های استفاده شده در جدول ۱ ارائه شده است. داده شهر آفتاب به عنوان ارتفاع پرواز زیاد، هندسه ضعیف شبکه و کیفیت پایین تصاویر و داده‌های آبیک و

## فصلنامه علمی - پژوهشی اطلاعات جغرافیایی (GSI)

مدل سازی باقیمانده های عکسی حاصل از مثلث بندی هوایی شبکه تصاویر فتوگرامتری ... / ۳۳

جدول ۱: داده های آزمون شده در تحقیق

Pixel Size(mm)	ابعاد تصویر	GSD(cm)	تعداد تصاویر	دوربین	منطقه
0.0045	7952 × 5304	4	250	ILCE-7RM2	شهر آفتاب
0.0026	4864 × 3648	2	195	FC6310	آبیک
0.0016	4000 × 3000	2.5	82	FC300S	کلورادو

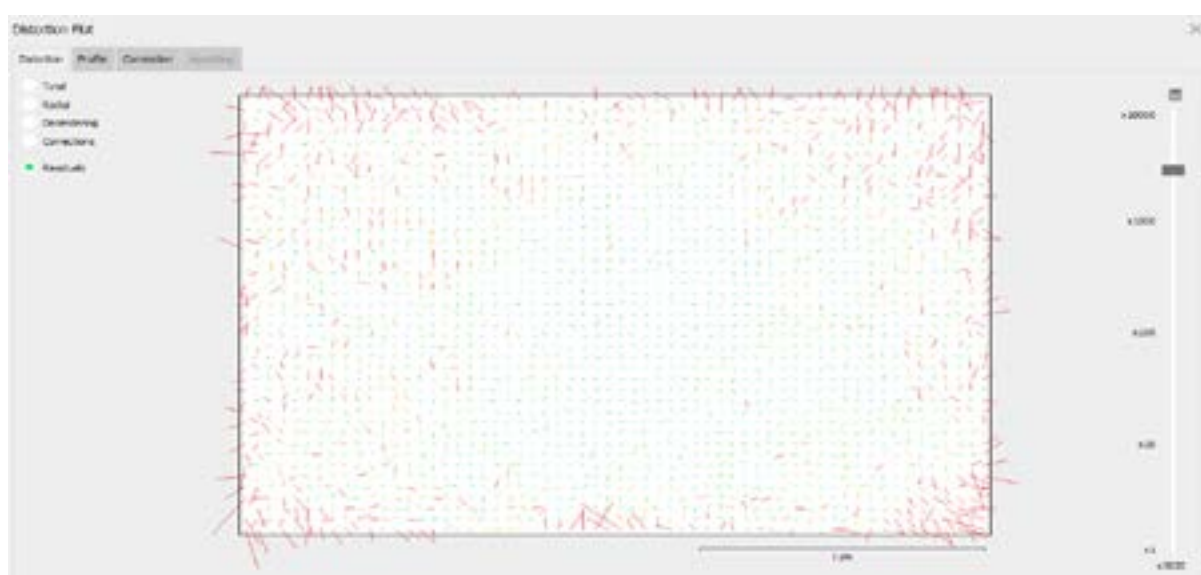
کلورادو به علت ارتفاع پرواز پایین و هندسه شبکه مستحکم مقایسه با نگاره ۷ قبل از حذف این اعوجاجات می باشد. نتایج حاصله بیانگر کاهش ۷۰ درصدی باقیمانده های عکسی است.

### ۱-۳- آزمون بررسی تأثیر روش پیشنهادی بر صحت مثلث بندی هوایی

#### ۲-۳- آزمون بررسی پله بین مدل های برجسته بینی

یکی از شاخص های مهم در خط تولید تهیه نقشه به روش فتوگرامتری، کیفیت برجسته بینی مدل های سه بعدی و بررسی میزان پله ارتفاعی بین آنها است. چرا که تولید نقشه نیاز به برجسته بینی و دید استریو دارد و به همین علت میزان پله مدل به عنوان معیاری برای ارزیابی تصحیح هندسی تصاویر استفاده می شود. برای برجسته بینی از تصاویر با پوشش طولی (Maybank & Faugeras, 1992) ۶۰ درصد استفاده می شود و پله مدل قبل و بعد از اعمال گرید اعوجاجات به تصاویر محاسبه می شود. پارامتر مؤثر دیگر در این روش ابعاد گرید است لذا با تغییر ابعاد گرید و اعمال آن بر نقاط

پس از تولید تصاویر اصلاح شده، برای بررسی تأثیر حذف اعوجاجات باقیمانده در عکس ها به روش پیشنهادی نیاز است تا سرشکنی بلوك به کمک تصاویر اصلاح شده انجام شود و بعد از سرشکنی مجدداً میزان باقیمانده های عکسی مورد ارزیابی قرار گیرند. در این مرحله استخراج نقاط و تناظر یابی به کمک تصاویر اصلاح شده انجام می شود اما پارامتر های توجیه خارجی و ضرایب چندجمله ای مدل برآون ثابت و برابر با مقادیر حاصل از سرشکنی اولیه خواهد بود. نگاره ۹ میانگین باقیمانده های عکسی پس از سرشکنی ثانویه برای تصاویر اصلاح شده را نشان می دهد که قابل



نگاره ۹: میانگین باقیمانده های عکسی پس از اصلاح تصاویر و پردازش ثانویه

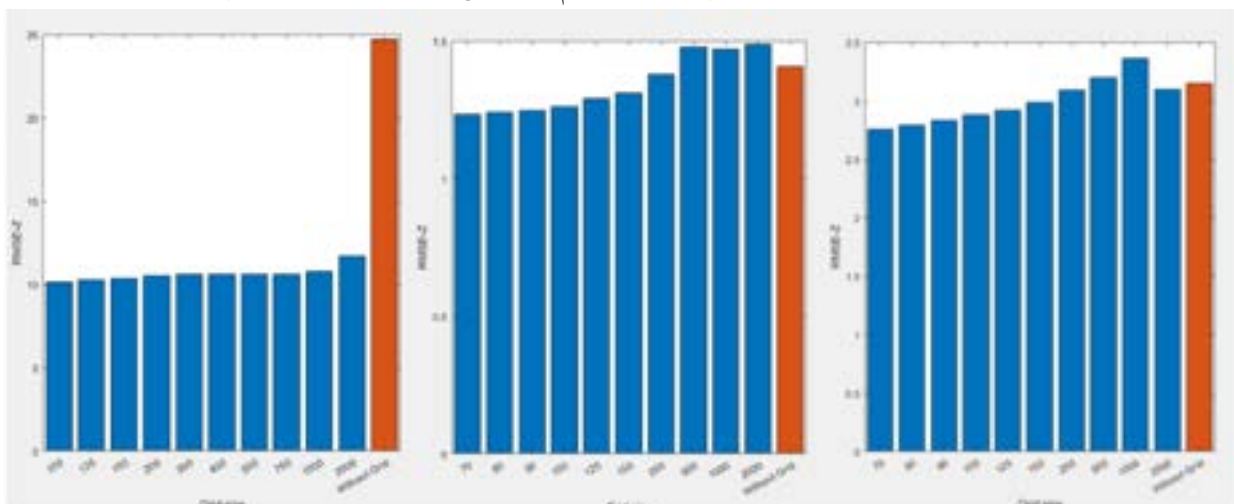
اعمال گردید با ابعاد ۷۰ پیکسل این مقدار به  $2/7$  برابر GSD می‌رسد. نکته قابل توجه این است که اعمال گردید با ابعاد بزرگ نه تنها باعث کاهش پله مدل نمی‌شود بلکه افزایش آن را نیز تا  $3/4$  برابر GSD در پی دارد. لذا ضروری است تا ابعاد گردید بزرگ در نظر گرفته نشده و با توجه به حجم محاسبات به صورت بهینه محاسبه و استفاده شود.

نتایج آزمون پله مدل روی داده کلورادو در نمودارهای نگاره (۱۰-چپ) ارائه شده است. رفتار تغییر پله مدل با اعمال گردیدهای مختلف بسیار شبیه به داده آبیک است. مقدار پله مدل به طور متوسط  $1/4$  برابر GSD است که پس از اعمال گردید با ابعاد ۷۰ پیکسل این مقدار به  $1/2$  برابر GSD می‌رسد. با نگاه به هر سه نمودار نگاره ۱۰ متوجه می‌شویم در داده شهر آفتاب، ناپایداری دوربین بسیار بالاتر از داده دیگر بوده و اعمال روش پیشنهادی تا  $60$  درصد نتایج را بهبود داده است اما در داده آبیک و کلورادو این بهبود حدود ده برابر کمتر یعنی به میزان  $15$  تا  $20$  درصد بوده است. به این ترتیب در نگاه اول به این نتیجه می‌رسیم که روش پیشنهادی برای دوربین‌های غیرمتريک اما پایدار و با اعوجاجات قابل مدل با روش براون خيلي مؤثر نیست. نگاره‌های (۱۱ و ۱۲) پروفیل طولی و عرضی روی یک مدل دلخواه از داده شهر آفتاب را قبل و بعد از اعمال گردید منظم نشان می‌دهد که بیانگر کاهش پله مدل است.

گرهای تأثیر این پارامتر نیز بررسی و مقدار بهینه آن برای هر داده محاسبه می‌شود. میزان پله یا ناسازگاری ارتفاعی دو مدل همسایه، با معیار متوسط پله در کل یک مدل (RMSE-Z) معرفی می‌شود. واحد اندازه‌گیری پله نیز GSD درنظر گرفته شده است. نگاره (۱۰-راست) میزان پله مدل برای داده شهر آفتاب را نشان می‌دهد. در این نمودار محور X نشان‌دهنده ابعاد گردید و محور Z میزان پله مدل را نشان می‌دهند همچنین رنگ قرمز نشان‌دهنده میزان پله مدل در سرشکنی اولیه و قبل از اعمال گردید بر تصاویر و رنگ آبی بیانگر میزان پله پس از اعمال گردید بر تصاویر است.

با توجه به نمودارهای نگاره (۱۰-راست) میزان پله مدل در یک مدل دلخواه از داده شهر آفتاب قبل از اعمال گردید ۲۵ برابر GSD است. کاهش میزان پله پس از اعمال گردید و کوچک شدن ابعاد آن نیز مشهود است به نحوی که با اعمال گردید با ابعاد  $100$  پیکسل میزان پله مدل به  $10$  برابر GSD کاهش می‌یابد. نکته قابل توجه این است که اعمال گردید با ابعاد  $2000$  پیکسل نیز باعث کاهش پله مدل می‌شود اما بهبود خطای حدود  $80$  درصد گردید  $100$  پیکسلی است. هر چه ابعاد گردید کاهش می‌یابد، پله مدل با سرعت کمتر و به صورت نمایی کاهش می‌یابد.

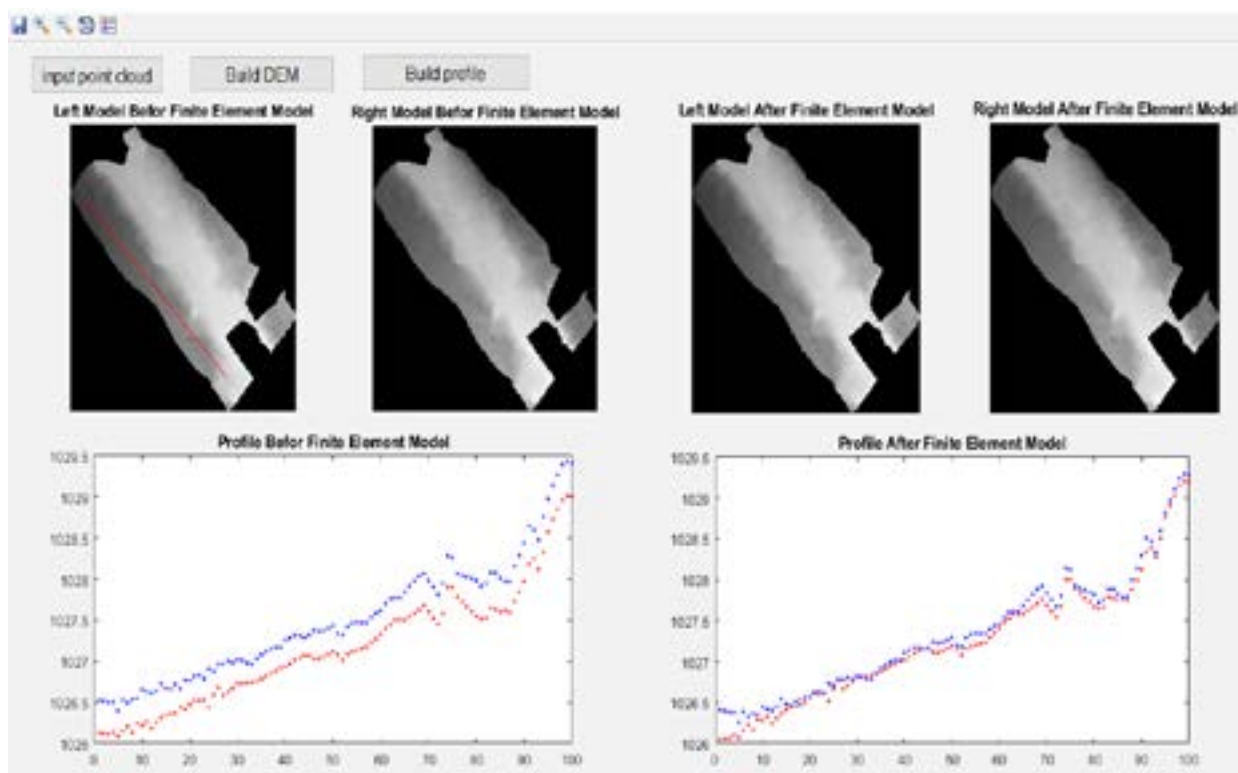
نمودار نگاره (۱۰-وسط) نشان‌دهنده پله مدل داده آبیک است که به طور متوسط  $3/2$  برابر GSD است و پس از



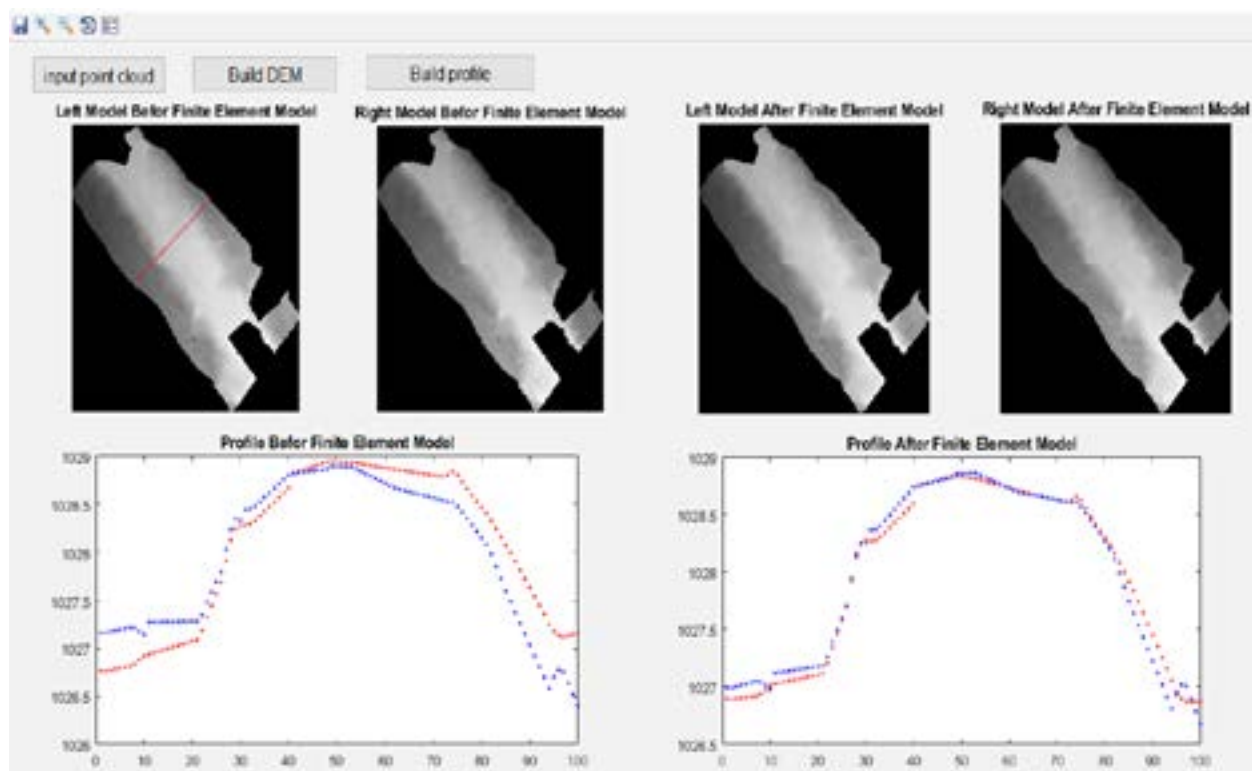
نگاره ۱۰: نمودار میزان پله بین مدل‌های متوالی برای داده شهر آفتاب (راست)، آبیک (وسط) و کلرادو (چپ)

## فصلنامه علمی - پژوهشی اطلاعات جغرافیایی (GIM)

مدل سازی باقیمانده های عکسی حاصل از مثلث بندی هوایی شبکه تصاویر فتوگرامتری ... / ۳۵



نگاره ۱۱: پروفیل عرضی بیانگر پله بین دو مدل استریو متواالی در داده شهر آفتاب قبل و بعد از اعمال روش پیشنهادی



نگاره ۱۲: پروفیل طولی بیانگر پله بین دو مدل استریو متواالی در داده شهر آفتاب قبل و بعد از اعمال روش پیشنهادی

این کار برای تمام ۱۱ مدل انجام و ابعاد گرید با بیشترین فراوانی به عنوان گرید بهینه برای کل بلوک در نظر گرفته شده است. ابعاد گرید بهینه برای هر داده در جدول (۲) شرح داده شده است.

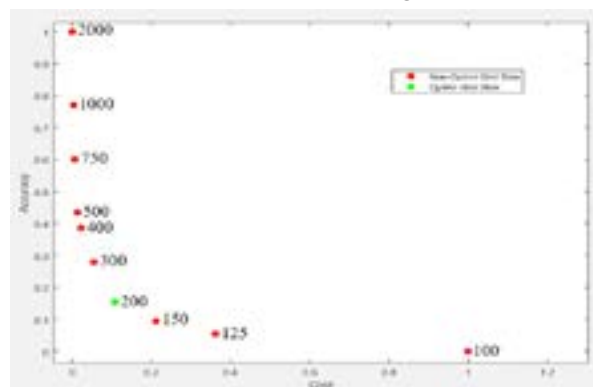
جدول ۲: ابعاد بهینه گرید اعوجاجات

فرابانی	ابعاد گرید بهینه	منطقه
۷/۱۱	۲۰۰	شهر آفتاب
۷/۱۰	۱۵۰	آبیک
۲/۵	۱۵۰	کلرادرد

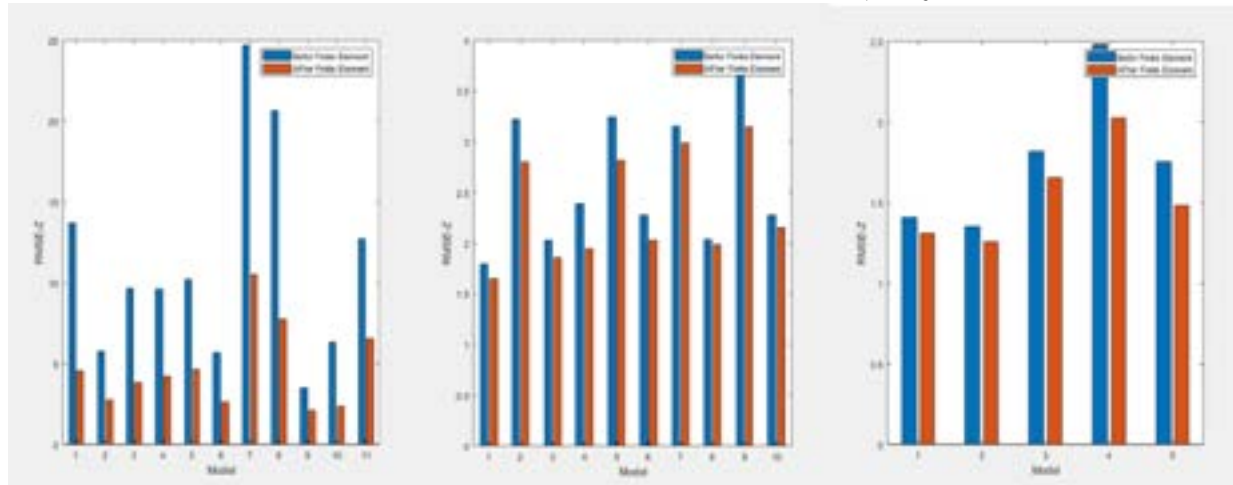
همانطور که دیده می شود ابعاد گرید ۱۵۰ تا ۲۰۰ پیکسل نتایج بهینه ای را به دنبال داشته است و توصیه می شود.

### ۳-۳- آزمون تعیین ابعاد بهینه گرید اعوجاجات

به منظور بررسی و تعیین ابعاد بهینه گرید اعوجاجات برای هر یک از داده های فوق از تعدادی مدل استریو متواالی انتخابی در سطح بلوک استفاده شده است. به عنوان مثال ۱۱ مدل مختلف در ۱۱ منطقه از بلوک تصاویر شهر آفتاب انتخاب و میزان پله مدل با ابعاد مختلف گرید محاسبه می شود. همچنین مدت زمان پردازش به عنوان هزینه محاسباتی در نظر گرفته شده است. حال برای هر مدل نمودار هزینه - دقیق نرمال شده مطابق نگاره ۱۳ محاسبه و با فرض وزن یکسان برای دو شاخص دقیق و هزینه، نزدیک ترین حالت به مبدأ مختصات به عنوان حالت بهینه برای هر مدل معرفی شده است.



نگاره ۱۳: نمودار هزینه - دقیق یک مدل دلخواه از داده شهر آفتاب



نگاره ۱۴: مقایسه خطای متوسط ارتفاعی تعدادی پله مدل استریو متواالی قبل و بعد از اعمال گرید بهینه با ابعاد ۲۰۰، ۱۵۰ و ۱۰۰ پیکسل مربوط به داده های شهر آفتاب (راست)، آبیک (وسط) و کلرادرد (چپ)

## فصلنامه علمی - پژوهشی اطلاعات جغرافیایی (جج)

مدل سازی باقیمانده های عکسی حاصل از مثلث بندی هوایی شبکه تصاویر فتوگرامتری ... / ۳۷

### منابع و مأخذ

- 1- Agisoft, L. (2020). Agisoft metashape user manual: Standard edition. In.
- 2- Babapour, H., Mokhtarzade, M., & Valadan Zoej, M. J. (2017). A novel post-calibration method for digital cameras using image linear features. International Journal of Remote Sensing, 38(8-10), 2698-2716.
- 3- Chio, S.-H. (2016). VBS RTK GPS-assisted self-calibration bundle adjustment for aerial triangulation of fixed-wing UAS images for updating topographic maps. Boletim de Ciências Geodésicas, 22, 665-684.
- 4- Dang, T., Hoffmann, C., & Stiller, C. (2009). Continuous stereo self-calibration by camera parameter tracking. IEEE Transactions on image processing, 18(7), 1536-1550.
- 5- Duane, C. B. (1971). Close-range camera calibration. Photogramm. Eng, 37(8), 855-866.
- 6- Dumitru, P. D., Plopeanu, M., & Badea, D. (2013). Comparative study regarding the methods of interpolation. Recent advances in geodesy and Geomatics engineering, 1, 45-52.
- 7- Faugeras, O. D., Luong, Q.-T., & Maybank, S. J. (1992). Camera self-calibration: Theory and experiments. Paper presented at the European conference on computer vision.
- 8- Fraser, C., & Brown, D. (1986). Industrial photogrammetry: New developments and recent applications. The Photogrammetric Record, 12(68), 197-217.
- 9- Fraser, C. S., & Al-Ajlouni, S. (2006). Zoom-dependent camera calibration in digital close-range photogrammetry. Photogrammetric Engineering & Remote Sensing, 72(9), 1017-1026.
- 10- Gruen, A., & Beyer, H. A. (2001). System calibration through self-calibration. In Calibration and orientation of cameras in computer vision (pp. 163-193): Springer.
- 11- Habed, A., & Boufama, B. (2008). Camera self-calibration from bivariate polynomials derived from Kruppa's equations. Pattern Recognition, 41(8), 2484-2492.
- 12- Hartley, R. I. (1993). Euclidean reconstruction from uncalibrated views. Paper presented at the Joint European-US workshop on applications of invariance in

می توان نتیجه گیری کرد که استفاده از ایده فوق در دوربین های غیر متریک با ناپایداری هندسی بالا بسیار کارآمد است به طوری که در یک نمونه، کاهش ۷۰ درصدی باقیمانده های عکسی و کاهش ۶۰ درصدی پله ارتفاعی مدل ها در بر جسته بینی را به همراه داشته است. از طرفی استفاده از این الگوریتم در دوربین های غیر متریک با پایداری هندسی بالاتر تأثیر کمتری روی نتایج داشته و در آزمون ها نشان داده شد کاهش ۱۵ تا ۲۰ درصدی پله ارتفاعی بین مدل ها را به دنبال داشته است. با این حال در این نوع دوربین ها باز هم مدل های استریوی متواالی با پله شدید پیدا می شوند که اعمال تصحیحات فوق اگر از هزینه های محاسباتی آن چشم پوشی کنیم موجب بهبود خطاهای هندسی در بر جسته بینی خواهد شد. همچنین ابعاد گرید ۱۵۰ تا ۲۰۰ پیکسل برای اعمال روش پیشنهادی توصیه می شود.

### ۵- پیشنهادات

پیشنهادات ادامه تحقیق را در سه بخش می توان خلاصه نمود. اول اینکه عوامل مختلفی نظیر وزن مشاهدات و وزن معادلات قید می تواند روی برآورد گرید اعوجاجات مؤثر باشد که با استفاده از روش VCE می توان مقادیر بهینه آنها را برآورد نمود. نکته قابل تأمل دیگر در تکمیل راهکار پیشنهادی، اعمال وا استگی زمانی بین گرید اعوجاجات در تصاویر متواالی در کنار اعمال وا استگی مکانی آنها است. در این تحقیق تنها از قیود درون عکسی استفاده شد در حالی که اعوجاجات می توانند وا استگی زمانی نیز داشته باشند. بنابراین ایده اعمال وا استگی زمانی بین گرید اعوجاجات در تصاویر متواالی در کنار اعمال وا استگی مکانی و بررسی میزان درستی آن می تواند در تحقیقات پیش رو مورد بررسی قرار گیرد. همچنین اگرچه در روش پیشنهادی استفاده از ایده اجزاء محدود به صورت پس پردازش است اما درست تر آن است که این گرید اعوجاجات همزمان با باندل اجستمنت برآورد شوند.

- structure recovery for multi-planar scenes from two perspective images. Paper presented at the Proceedings IEEE Conference on Computer Vision and Pattern Recognition. CVPR 2000 (Cat. No. PR00662).
- 24- Zhang, Z. (2000). A flexible new technique for camera calibration. *IEEE Transactions on Pattern Analysis and Machine Intelligence*, 22(11), 1330-1334.
- 25- Zienkiewicz, O. C., Taylor, R. L., Nithiarasu, P., & Zhu, J. (1977). The finite element method (Vol. 3): McGraw-hill London.
- computer vision.
- 13- Hastedt, H., Luhmann, T., & Tecklenburg, W. (2002). Image-variant interior orientation and sensor modelling of high-quality digital cameras. *INTERNATIONAL ARCHIVES OF PHOTOGRAMMETRY REMOTE SENSING AND SPATIAL INFORMATION SCIENCES*, 34(5), 27-32.
- 14- Heyden, A., & Astrom, K. (1997). Euclidean reconstruction from image sequences with varying and unknown focal length and principal point. Paper presented at the Proceedings of IEEE Computer Society Conference on Computer Vision and Pattern Recognition.
- 15- Huang, W., Jiang, S., & Jiang, W. (2021). Camera Self-Calibration with GNSS Constrained Bundle Adjustment for Weakly Structured Long Corridor UAV Images. *Remote Sensing*, 13(21), 4222.
- 16- Kruppa, E. (1939). Zur ermittlung eines objektes zwei perspektiven mit innerer orientierung. *Sitz-Ber. Akad. Wiss., Wien, math. naturw. Kl. Abt., IIa* (122), 1948.
- 17- Lei, C., Wu, F., Hu, Z., & Tsui, H.-T. (2002). A new approach to solving kruppa equations for camera self-calibration. Paper presented at the Object recognition supported by user interaction for service robots.
- 18- Lourakis, M. I., & Deriche, R. (1999). Camera self-calibration using the singular value decomposition of the fundamental matrix: From point correspondences to 3D measurements. INRIA,
- 19- Maybank, S. J., & Faugeras, O. D. (1992). A theory of self-calibration of a moving camera. *International journal of computer vision*, 8(2), 123-151.
- 20- Pollefeys, M., Koch, R., & Van Gool, L. (1999). Self-calibration and metric reconstruction inspite of varying and unknown intrinsic camera parameters. *International journal of computer vision*, 32(1), 7-25.
- 21- Pollefeys, M., & Van Gool, L. (1999). Stratified self-calibration with the modulus constraint. *IEEE Transactions on Pattern Analysis and Machine Intelligence*, 21(8), 707-724.
- 22- Reddy, J. N. (2019). Introduction to the finite element method: McGraw-Hill Education.
- 23- Xu, G., Terai, J.-i., & Shum, H.-Y. (2000). A linear algorithm for camera self-calibration, motion and